

R. MARTINEK, St. SZOJDA,  
J. ULIASZ, J. WŁOSZEK

BADANIE WYBRANYCH SKAŁ KARBOŃSKICH  
W TRÓJOSIOWYM STANIE NAPRĘŻENIA

Streszczenie. W pracy podano wyniki badań próbek piaskowca i mułowca, ujmujące zależność naprężenia granicznego od odkształceń podłużnych i obwodowych.

1. Wprowadzenie

Wstalenie parametrów charakteryzujących własności wytrzymałościowe skał tworzących górotwór, w obrębie którego prowadzone są roboty górnicze, jest istotnym zagadnieniem dla współczesnego górnictwa [1, 2, 3, 4, 5]. W przeprowadzonych badaniach ustalono następujące parametry:

$R_T$  - wytrzymałość na jednoosiowe rozrywanie,  
 $R_C$  - wytrzymałość na jednoosiowe ściskanie,  
 $\nu$  - współczynnik Poissona,  
 $\varphi$  - kąt tarcia wewnętrznego,  
 $c$  - kohezja.

Badania zostały przeprowadzone dla czterech rodzajów skał dobranych pod względem jednorodności tak by nie posiadały szczelin, przerostów płaszczczyzn pomniejszonej spoiwości i uławicenia.

2. Opis próbek

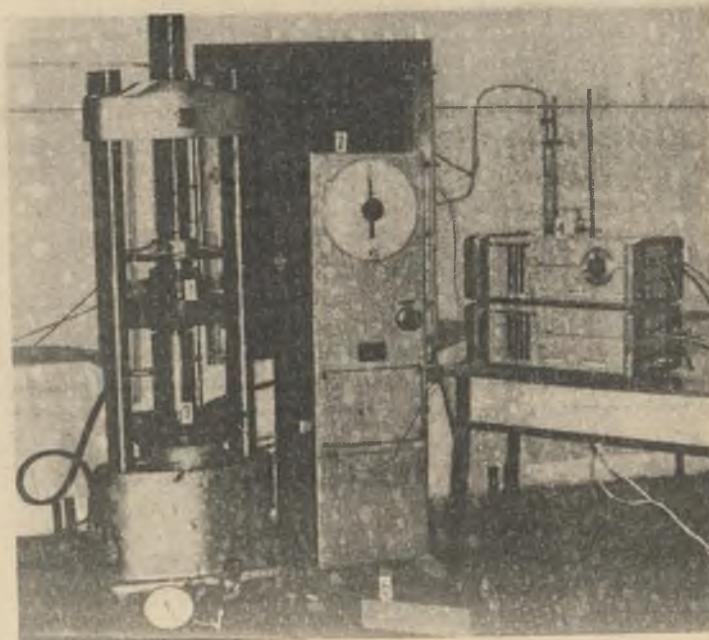
Próbki o średnicy 42 mm i wysokości 84 mm zostały wycięte z rdzeni otworów wiertniczych wykonanych w obszarze górniczym KWK "Jastrzębie" i do czasu wykonania badań były przechowywane w pojemniku hermetycznym w temperaturze 290°K, a wilgotność względna wewnątrz pojemnika wynosiła 50%.

### Charakterystyka badanych skał:

- Piaskowiec 1 - drobnoziarnisty - ziarna o średnicy około 0,2 mm, o słabym stopniu obtoczenia. Masa objętościowa 2500 kg/m<sup>3</sup>. Zawiera wagowo 85% piasku kwarcowego, 15% stanowią lepiszcze dolomityczno-kalcytowe i materiały śladowe.
- Piaskowiec 2 - drobnoziarnisty - ziarna o średnicy około 0,1 mm o słabym stopniu obtoczenia. Masa objętościowa 2670 kg/m<sup>3</sup>. Skład miner. 87% (wagowo) piasku kwarcowego, 13% stanowią lepiszcze dolomityczno-kalcytowe i materiały śladowe.
- Piaskowiec 3 - średnioziarnisty-ziarna o średnicy 0,1 do 1 mm o słabym stopniu obtoczenia. Masa objętościowa 2570 kg/m<sup>3</sup>. Skład miner.: 84% piasku kwarcowego (wagowo) 13% stanowią lepiszcze dolomityczno-kalcytowe i minerały śladowe.
- Muławiec - ultradrobnoziarnisty. Masa objętościowa 2570 kg/m<sup>3</sup>. Skład mineralny: 82% (wagowo) glaukoniit z domieszką piasku kwarcowego i tlenków żelaza, 18% stanowią minerały ilaste i śladowe.

### 3. Opis metod badawczych i aparatury

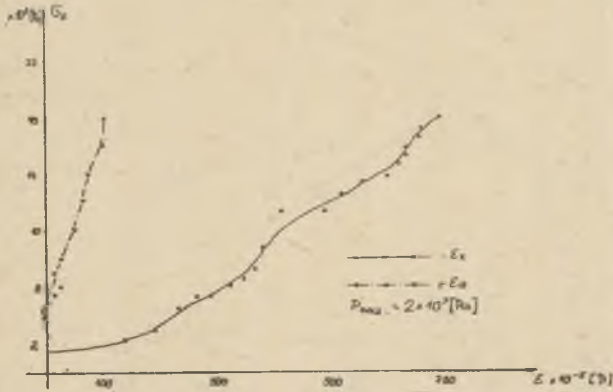
Do badań użyto prasy typu P 50 (prod. ZSRR) o maksymalnym nacisku 500 kN z regulacją szybkości obciążania od 0 do 1 kN/s oraz automatycz-



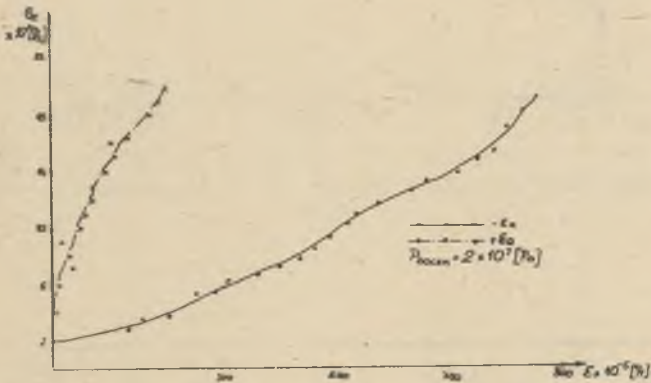
Wykres 1. Stanowisko badawcze

nej tensometrycznej aparatury pomiarowej typu TSA-63 (zdjęcie 1). Do badań w trójosiowym stanie naprężenia używano komory trójosiowego ściskania. Szybkość obciążania we wszystkich badaniach była stała i wynosiła  $9 \cdot 10^4$  Pa/s.

Próbki były badane w jednoosiowym stanie naprężenia na rozrywanie (metoda poprzecznego ściskania) i na ściskanie oraz w trójosiowym stanie naprężenia przy obciążeniach bocznych  $1 \times 10^7$  Pa i  $2 \times 10^7$  Pa.



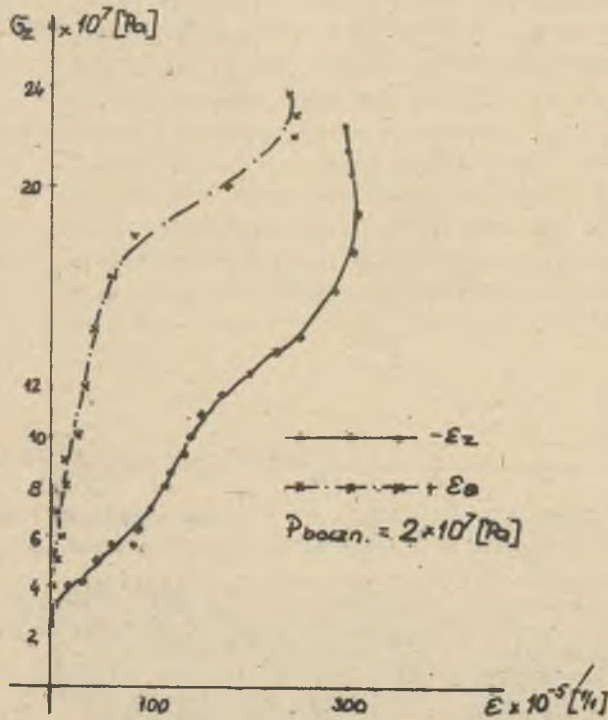
Rys. 1. Wykresy odkształcenia osiowego  $\epsilon_z$  i obwodowego  $\epsilon_\theta$  dla piaskowca nr 1



Rys. 2. Wykresy odkształcenia osiowego  $\epsilon_z$  i obwodowego  $\epsilon_\theta$  dla piaskowca nr 2

Aby uzyskać pełny obraz zachowania się skał w trójosiowym stanie naprężenia i wyznaczyć współczynniki Poissona oraz moduły Younga wykonano szereg pomiarów odkształceń próbek i wykreślono wykresy  $\epsilon_z = f(\sigma_z)$  oraz

$\epsilon_{\theta} = f(\sigma_z)$  (rys. 1, 2, 3, 4) dla wszystkich czterech rodzajów skał ciśnienie radialne wynosiło w tym przypadku  $2 \times 10^7$  Pa. ( $\epsilon_z$  - odkształcenia osiowe,  $\epsilon_{\theta}$  - odkształcenia obwodowe,  $\sigma_z$  - naprężenia pionowe).



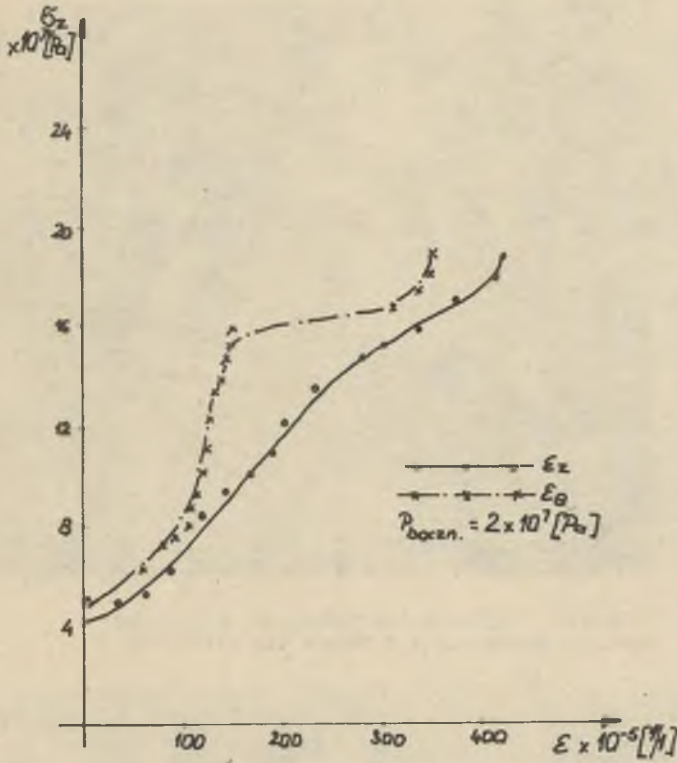
Rys. 3. Wykresy odkształcenia osiowego  $\epsilon_z$  i obwodowego  $\epsilon_{\theta}$  dla piaskowca nr 3

Tabela 1

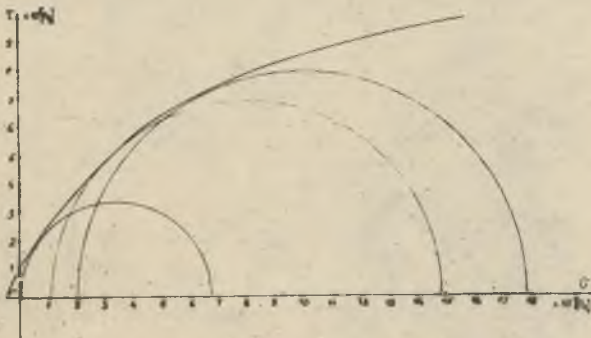
rodzaj skały	$R_T$	$R_C$	$\nu$	$\varphi$	E	masa objętościowa	c
	$\times 10^7$ Pa	$\times 10^7$ Pa					
piaskowiec 1	0,33	6,9	0,13	36	2470	2500	3,2
piaskowiec 2	0,4	5,1	0,15	39	2115	2670	2,1
piaskowiec 3	0,43	5,9	0,18	42	4410	2570	2,0
mułowlec	0,45	7,2	0,18	30	2360	2570	3,1

Zestawienie wyników pomiarów podano w tabeli 1, a koła Mohra na rysunkach 5, 6, 7, 8.

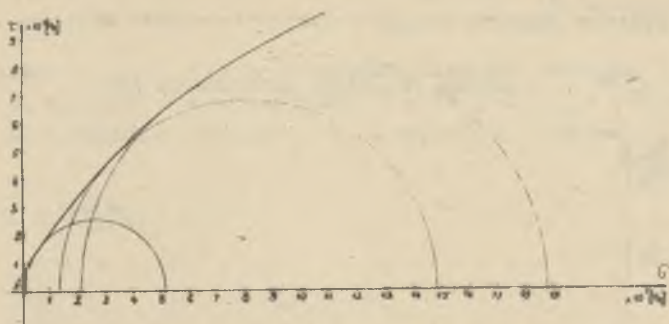
Na zdjęciach 2, 3, 4, 5 podano przykłady zniszczenia skał.



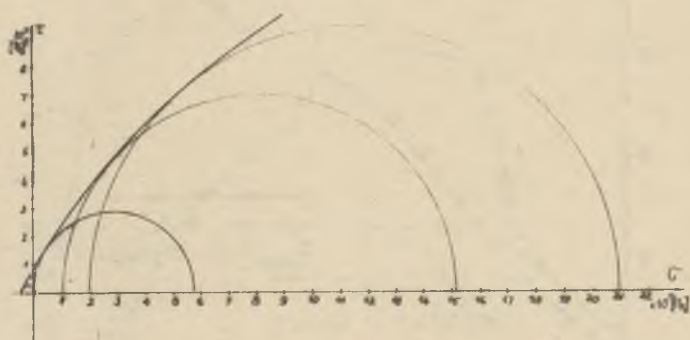
Rys. 4. Wykresy odkształcenia osiowego  $\epsilon_z$  i obwodowego  $\epsilon_\theta$  dla muławca



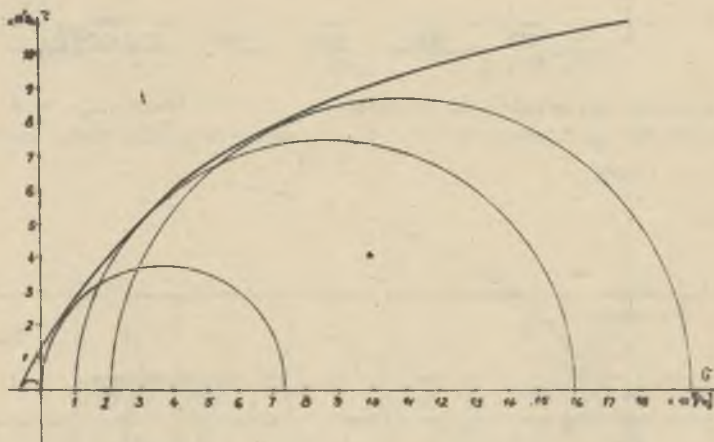
Rys. 5. Obwiednia kół Mohra dla piaskowca 1



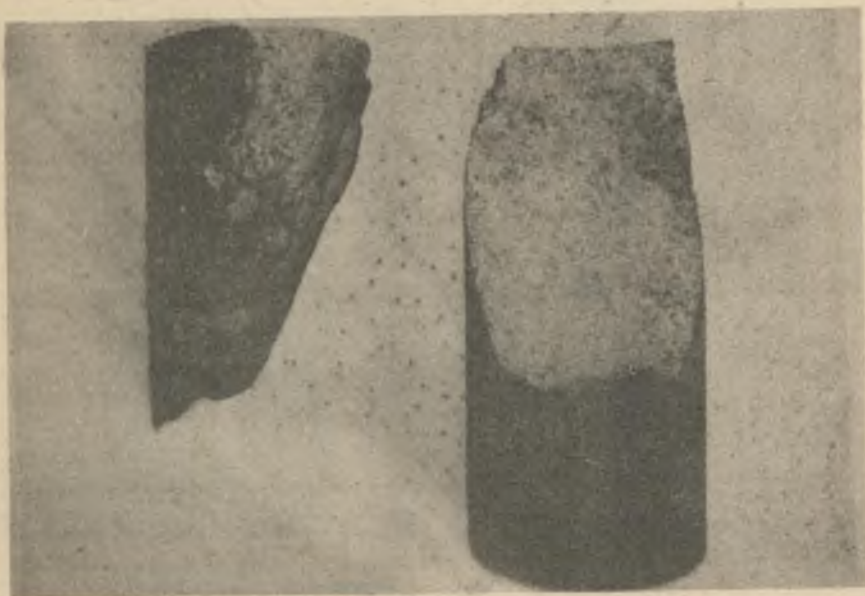
Rys. 6. Obwiednia kół Mohra dla piaskowca 2



Rys. 7. Obwiednia kół Mohra dla piaskowca 3



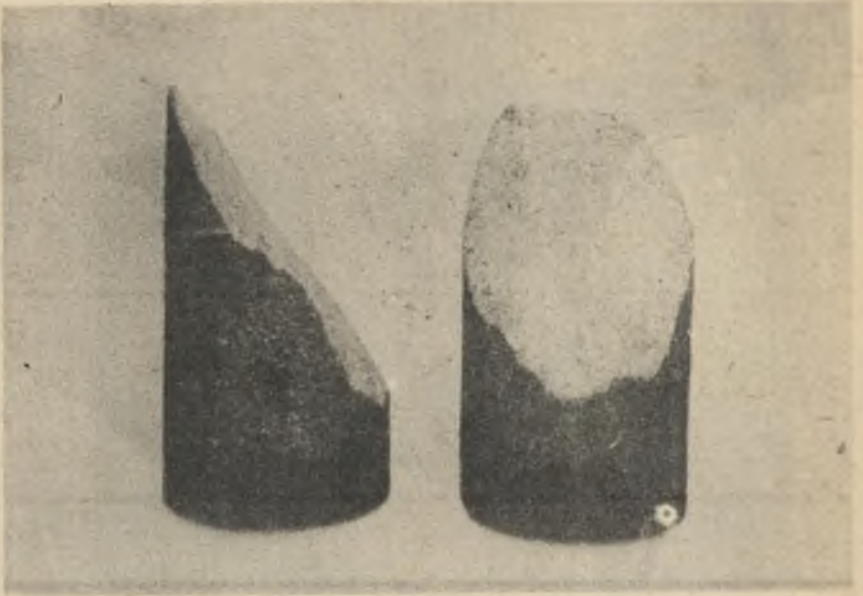
Rys. 8. Obwiednia kół Mohra dla muławca



Zdjęcie 2. Przykład zniszczenia piaskowca 1



Zdjęcie 3. Przykład zniszczenia piaskowca 2



Zdjęcie 4. Przykład zniszczenia piaskowca 3



Zdjęcie 5. Przykład zniszczenia mułowca



## LITERATURA

- [1] Franklin J.A.: Triaxial strength of rock materials Rock Mech. 3, 1971, s. 86-98.
- [2] Gimm W.: Aktuelle grund probleme der geomechanik in festen gebirge. Bergakademie, 1969.
- [3] Jager F.C., Cook N.G.W.: Fundamentals of rock mechanics Methuen. London 1969.
- [4] Rzewskij W.W., Nowik G.Ja.: Osnovy fizyki gornych porod. Moskwa - Niedra 1978.
- [5] Wnuk M.P.: Podstawy mechaniki pękania. Kraków 1977, (skrypt AGH).

## Р е з ю м е

В статье даются результаты исследований образцов песчаника и алеволита, которые определяют зависимость предельного напряжения от предельных и контурных деформаций.

## S u m m a r y

The paper presents the results of the analysed sandstone and mudstone samples with account for the limiting compression versus longitudinal and circumferential deformations.